

Modélisation de propagation de fissure par un PDMP

Romain Azais, Anne Gégout-Petit, Marie Touzet, Charles Elegbede

IMB – Equipe CQFD, INRIA – LMP – EADS Astrium

Réunion GTR 22

Plan

- 1 Pourquoi un modèle stochastique ?
 - Les données de Virkler
 - L'aléa dans la modélisation
- 2 Ajustement sur les données de Virkler
 - Ajustement par morceaux
 - Résultats obtenus
- 3 Modèles de propagation de fissure
 - Modèle général
 - Principe d'actualisation
- 4 Simulations et validation du modèle
 - Simulations
 - Critères numériques de validation
 - Validation croisée et comparaison avec un modèle sans saut

Loi de Paris-Erdogan (propagation de fissure)

$$\frac{da}{dN} = C(\Delta\sigma\sqrt{\pi})^m \cos\left(\frac{\pi}{\omega}a\right)^{-\frac{m}{2}} a^{\frac{m}{2}} \quad (\text{P-E})$$

↔ évolution déterministe

Loi de Paris-Erdogan (propagation de fissure)

$$\frac{da}{dN} = C(\Delta\sigma\sqrt{\pi})^m \cos\left(\frac{\pi}{\omega}a\right)^{-\frac{m}{2}} a^{\frac{m}{2}} \quad (\text{P-E})$$

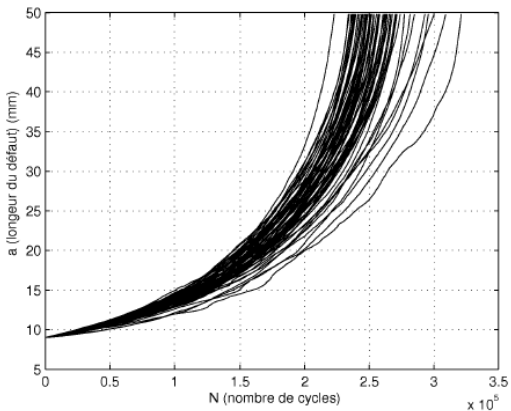
↪ évolution déterministe

Expérience de Virkler



$$\Delta\sigma = 48.28\text{MPa} \quad \text{et} \quad \omega = 152.4\text{mm}$$

Données expérimentales de Virkler



↪ dispersion importante !

Les données de Virkler

- 68 éprouvettes préfissurées (9mm)
- Contrainte cyclique d'amplitude constante
- 164 mesures par éprouvette
- Arrêt à la longueur 49.8mm (1/3 de l'éprouvette)

Loi de Paris-Erdogan

$$\frac{da}{dN} = C(\Delta\sigma\sqrt{\pi})^m \cos\left(\frac{\pi}{\omega}a\right)^{-\frac{m}{2}} a^{\frac{m}{2}} \quad (\text{P-E})$$

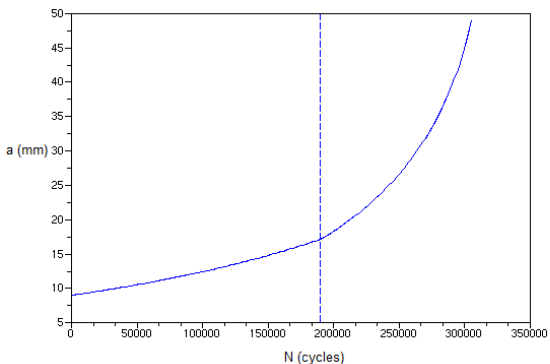
Suivant les modélisations, le couple de paramètres (m, C) peut être :

- une variable aléatoire "choisie" à l'instant initial,
- un processus évoluant dans un espace continu,
- **une chaîne de Markov à temps continu.**

Evolution du processus

A préciser :

- la loi initiale des paramètres,
- la loi du temps de saut,
- le noyau de transition pour les paramètres.



Plan

- 1 Pourquoi un modèle stochastique ?
 - Les données de Virkler
 - L'aléa dans la modélisation
- 2 Ajustement sur les données de Virkler
 - Ajustement par morceaux
 - Résultats obtenus
- 3 Modèles de propagation de fissure
 - Modèle général
 - Principe d'actualisation
- 4 Simulations et validation du modèle
 - Simulations
 - Critères numériques de validation
 - Validation croisée et comparaison avec un modèle sans saut

Données de Virkler

68 courbes : $\{(N_q^{(k)}, a_q^{(k)})_{1 \leq q \leq 164}\}_{1 \leq k \leq 68}$

Données de Virkler

68 courbes : $\{(N_q^{(k)}, a_q^{(k)})_{1 \leq q \leq 164}\}_{1 \leq k \leq 68}$

$a_{th}(m_1, C_1, T, m_2, C_2)$: courbe théorique définie par morceaux

pour $0 \leq N < T$, $a_{th}(N)$: P-E de paramètres m_1 et C_1

pour $N \geq T$, $a_{th}(N)$: P-E de paramètres m_2 et C_2

$$\frac{da}{dN} = C(\Delta\sigma\sqrt{\pi})^m \cos\left(\frac{\pi}{\omega}a\right)^{-\frac{m}{2}} a^{\frac{m}{2}} \quad (\text{P-E})$$

Ajustement par morceaux

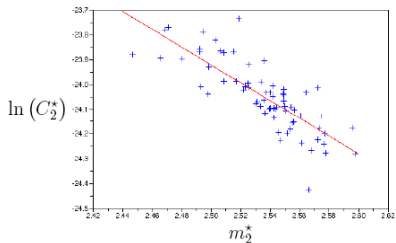
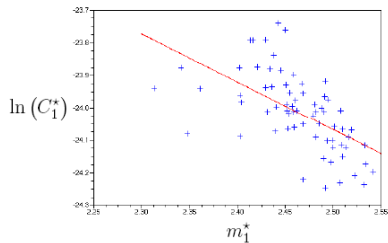
Pour chaque fissure k , on minimise

$$\sum_{q=1}^{164} \left\{ a_q^{(k)} - a_{th}(m_1, C_1, T, m_2, C_2)(N_q^{(k)}) \right\}^2$$

(Somme des carrés des écarts verticaux)

$$\hookrightarrow (m_1^{(k)*}, C_1^{(k)*}, T^{(k)*}, m_2^{(k)*}, C_2^{(k)*})$$

Quelques statistiques des résultats obtenus



Quelques statistiques des résultats obtenus

	min	max	moyenne	écart-type
m_1^*	2.313	2.541	2.462	4.6810^{-2}
$\ln(C_1^*)$	-24.247	-23.740	-24.013	$1.18.10^{-1}$
\overline{N}^*	28207	258046	118004	51577
m_2^*	2.446	2.597	2.535	$3.14.10^{-2}$
$\ln(C_2^*)$	-24.423	-23.736	-24.048	$1.39.10^{-1}$

Plan

- 1 Pourquoi un modèle stochastique ?
 - Les données de Virkler
 - L'aléa dans la modélisation
- 2 Ajustement sur les données de Virkler
 - Ajustement par morceaux
 - Résultats obtenus
- 3 Modèles de propagation de fissure
 - Modèle général
 - Principe d'actualisation
- 4 Simulations et validation du modèle
 - Simulations
 - Critères numériques de validation
 - Validation croisée et comparaison avec un modèle sans saut

PDMP pour la propagation de fissures

$$\forall N \geq 0, X_N = (\nu_N, \zeta_N)$$

Espace d'états du mode

$\nu_N \in \mathcal{M} \times \mathcal{C}$ de cardinal fini

On utilise les résultats d'ajustement pour déterminer :

- l'espace $\mathcal{M} \times \mathcal{C}$,
- l'intensité de saut $\lambda_{(m,C)}$,
- le noyau de transition M des paramètres.

Description du PDMP

1 - Choix aléatoire des paramètres initiaux

$$\nu_0 = (m, C) \in \mathcal{M} \times \mathcal{C} \quad (\text{et } \zeta_0 = 9)$$

2 - Evolution déterministe pendant un temps aléatoire

$\forall 0 \leq N < T$, ζ_N : P-E de paramètres m et C

$$\text{avec } \mathbb{P}(T > s) = \exp\{-\lambda_{(m,C)}s\}$$

3 - Transition aléatoire des paramètres

à l'instant T , saut du mode selon un noyau de transition M :

$$\nu_T = (\tilde{m}, \tilde{C}) \in \mathcal{M} \times \mathcal{C}$$

4 - Nouvelle évolution déterministe

$\forall N \geq T$, ζ_N : P-E de paramètres \tilde{m} et \tilde{C}

Description du PDMP

1 - Choix aléatoire des paramètres initiaux

$$\nu_0 = (m, C) \in \mathcal{M} \times \mathcal{C} \quad (\text{et } \zeta_0 = 9)$$

2 - Evolution déterministe pendant un temps aléatoire

$\forall 0 \leq N < T, \zeta_N$: P-E de paramètres m et C

$$\text{avec } \mathbb{P}(T > s) = \exp\{-\lambda_{(m,C)}s\}$$

3 - Transition aléatoire des paramètres

à l'instant T , saut du mode selon un noyau de transition M :

$$\nu_T = (\tilde{m}, \tilde{C}) \in \mathcal{M} \times \mathcal{C}$$

4 - Nouvelle évolution déterministe

$\forall N \geq T, \zeta_N$: P-E de paramètres \tilde{m} et \tilde{C}

Description du PDMP

1 - Choix aléatoire des paramètres initiaux

$$\nu_0 = (m, C) \in \mathcal{M} \times \mathcal{C} \quad (\text{et } \zeta_0 = 9)$$

2 - Evolution déterministe pendant un temps aléatoire

$\forall 0 \leq N < T$, ζ_N : P-E de paramètres m et C

$$\text{avec } \mathbb{P}(T > s) = \exp\{-\lambda_{(m,C)}s\}$$

3 - Transition aléatoire des paramètres

à l'instant T , saut du mode selon un noyau de transition M :

$$\nu_T = (\tilde{m}, \tilde{C}) \in \mathcal{M} \times \mathcal{C}$$

4 - Nouvelle évolution déterministe

$\forall N \geq T$, ζ_N : P-E de paramètres \tilde{m} et \tilde{C}

Description du PDMP

1 - Choix aléatoire des paramètres initiaux

$$\nu_0 = (m, C) \in \mathcal{M} \times \mathcal{C} \quad (\text{et } \zeta_0 = 9)$$

2 - Evolution déterministe pendant un temps aléatoire

$\forall 0 \leq N < T$, ζ_N : P-E de paramètres m et C

$$\text{avec } \mathbb{P}(T > s) = \exp\{-\lambda_{(m,C)}s\}$$

3 - Transition aléatoire des paramètres

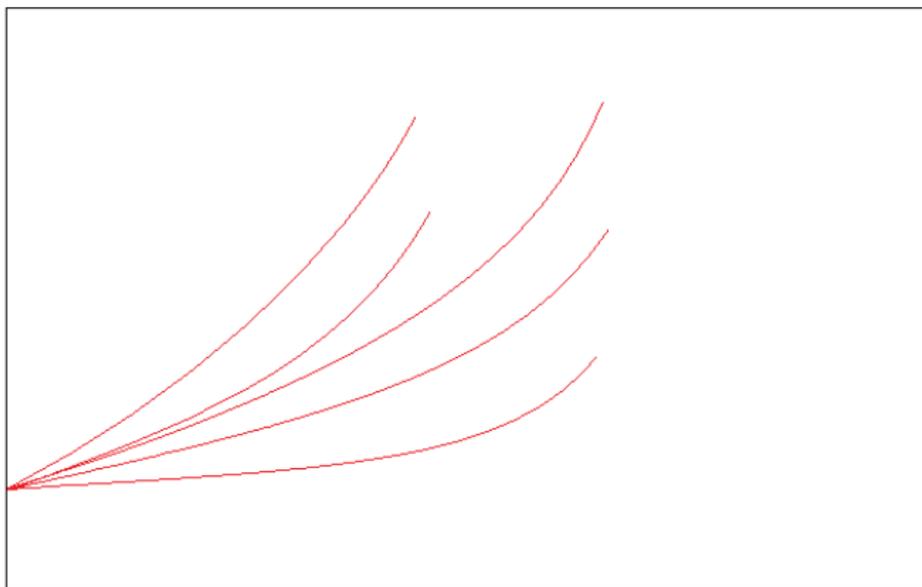
à l'instant T , saut du mode selon un noyau de transition M :

$$\nu_T = (\tilde{m}, \tilde{C}) \in \mathcal{M} \times \mathcal{C}$$

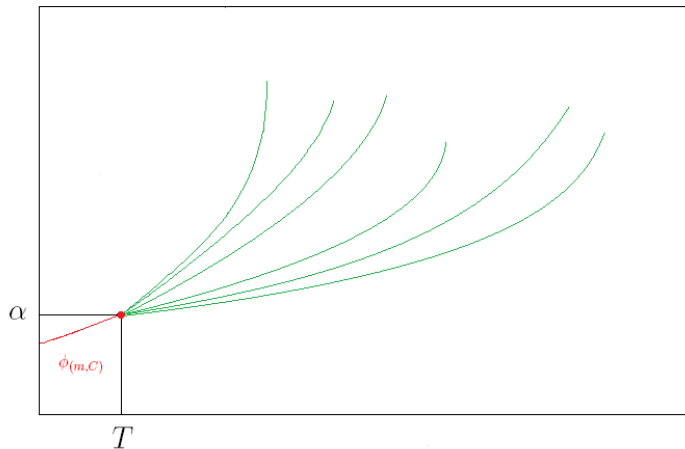
4 - Nouvelle évolution déterministe

$\forall N \geq T$, ζ_N : P-E de paramètres \tilde{m} et \tilde{C}

Loi initiale du mode



Transition du mode



Actualisation

Pour la fissure k , on dispose des l premières mesures

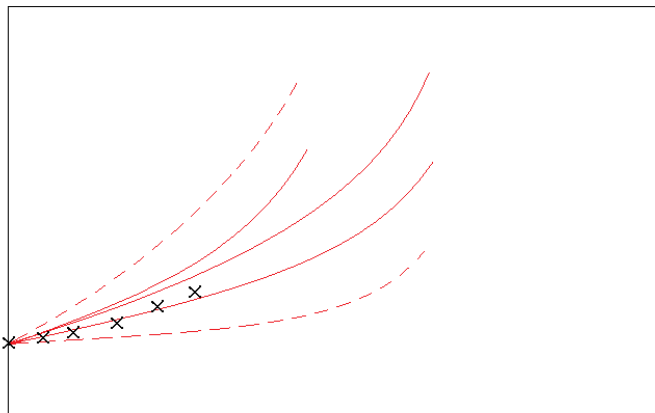
$$(N_q^{(k)}, a_q^{(k)})_{1 \leq q \leq l}$$

Principe d'actualisation ← modèle général modifié

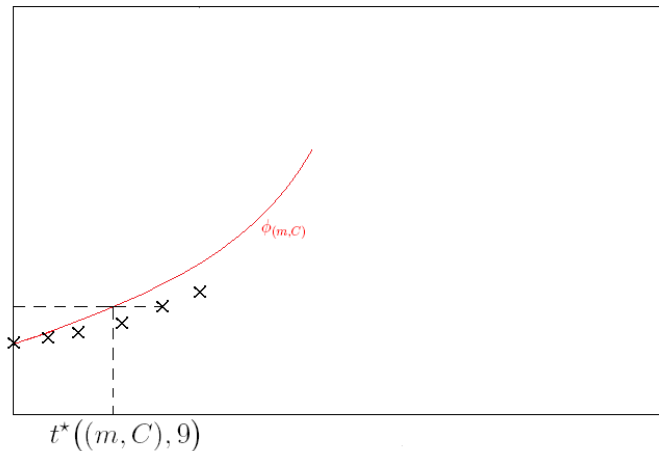
On prend en compte les l mesures :

- nouvelle loi initiale du mode
- saut contraint au bout d'un temps ne dépendant que de ν_0
- nouvelle matrice de transition

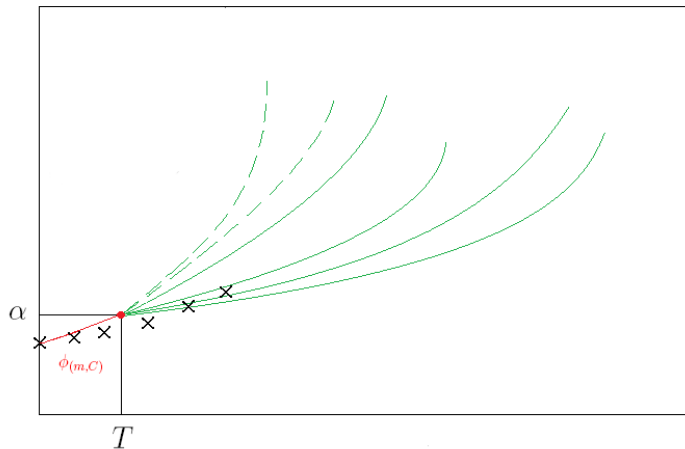
Nouvelle loi initiale du mode



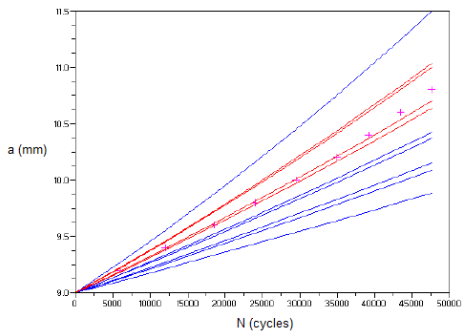
Instant de transition forcée



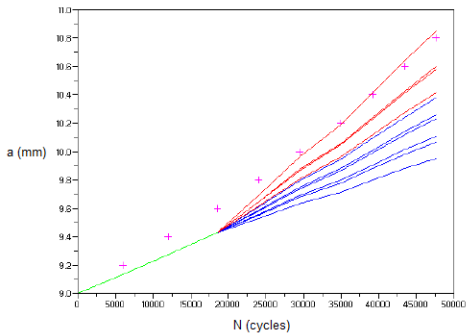
Nouvelle loi de transition



Loi initiale (simulations)



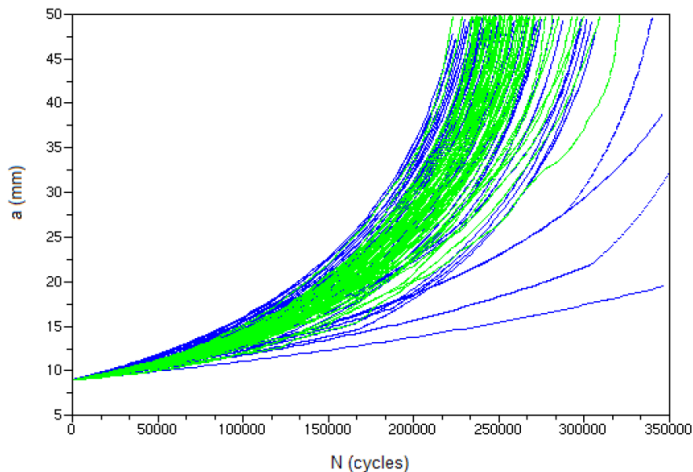
Loi de transition (simulations)



Plan

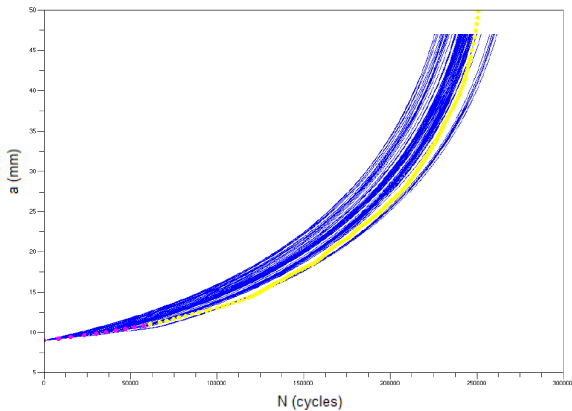
- 1 Pourquoi un modèle stochastique ?
 - Les données de Virkler
 - L'aléa dans la modélisation
- 2 Ajustement sur les données de Virkler
 - Ajustement par morceaux
 - Résultats obtenus
- 3 Modèles de propagation de fissure
 - Modèle général
 - Principe d'actualisation
- 4 Simulations et validation du modèle
 - Simulations
 - Critères numériques de validation
 - Validation croisée et comparaison avec un modèle sans saut

Simulations selon le modèle général



faisceau simulé ($\text{Card}(\mathcal{M} \times \mathcal{C}) = 40$) et données de Virkler  INRIA

Faisceau de prédiction pour la fissure 67



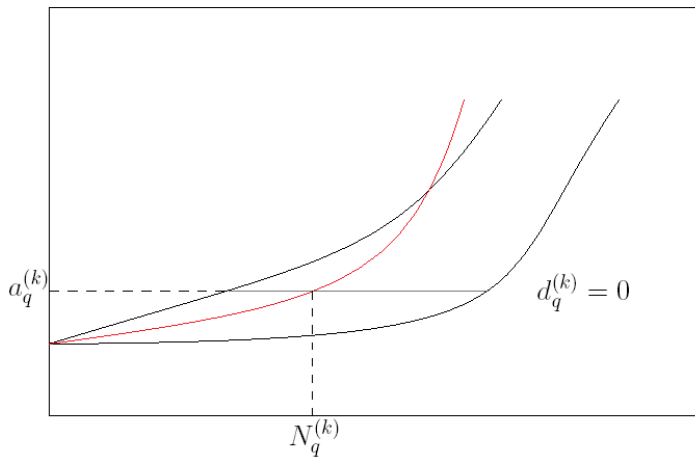
Critères numériques de validation

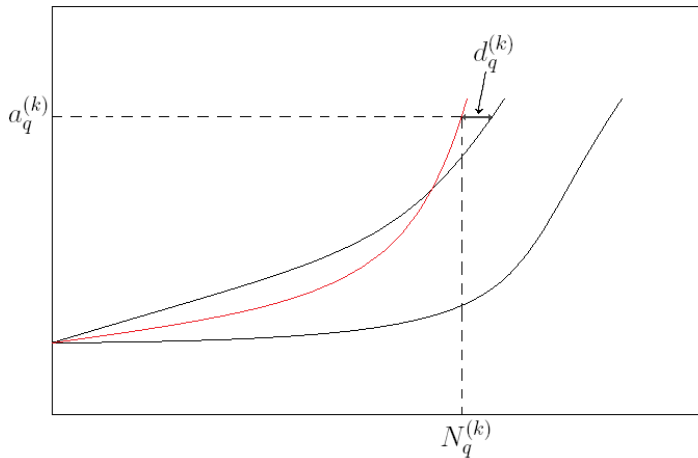
Faisceau simulé selon le principe d'actualisation

$$\mathcal{F}^{(k)} = \{f_1^{(k)}, \dots, f_{100}^{(k)}\} \quad \text{où } f_j^{(k)} : \text{courbe simulée}$$

Critère numérique : *distance* de \mathcal{F}_k à la courbe k

$$\mathcal{D}(\mathcal{F}^{(k)}, \ll \text{fissure } k \gg) = \frac{1}{N_Q^{(k)}} \sum_{q=l+1}^Q d_q^{(k)}$$





Critères retenus

- \mathcal{D} : distance au faisceau (sans unité),
- $d_Q^{(k)}$: distance pour la dernière mesure (en nombre de cycles),
- dispersion du faisceau (en nombre de cycles).

Validation croisée : *leave one out*

Modèle PDMP avec actualisation – $\text{Card}(K) = 20$

- pour 40% des fissures : $\mathcal{D}(\mathcal{F}^{(k)}, \ll \text{fissure } k \gg) = 0$
- pour 70% des fissures : $\mathcal{D}(\mathcal{F}^{(k)}, \ll \text{fissure } k \gg) < 1$
- pour 66% des fissures : $d_Q^{(k)} = 0$

Comparaison avec un modèle sans saut

Fissures rapides

	Modèle PDMP	Modèle sans saut
$\mathcal{D}(\mathcal{F}^{(k)}, \ll \text{fissure } k \gg) = 0$	8/11	0/11
$\mathcal{D}(\mathcal{F}^{(k)}, \ll \text{fissure } k \gg) < 1$	11/11	1/11
$d_Q^{(k)} = 0$	9/11	7/11
dispersion moyenne	6191 cycles	9468 cycles

Comparaison avec un modèle sans saut

Fissures lentes

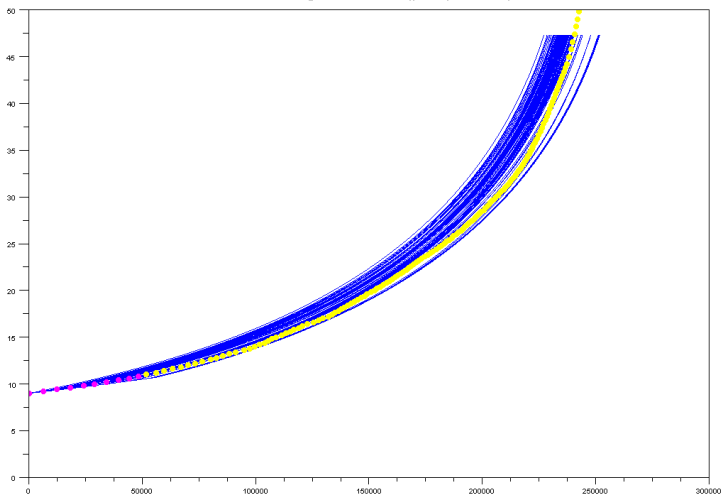
	Modèle PDMP	Modèle sans saut
$\mathcal{D}(\mathcal{F}^{(k)}, \ll \text{fissure } k \gg) = 0$	0/7	0/7
$\mathcal{D}(\mathcal{F}^{(k)}, \ll \text{fissure } k \gg) < 1$	0/7	0/7
$d_Q^{(k)} = 0$	1/7	1/7
dispersion moyenne	9863 cycles	8988 cycles
moyenne de $d_Q^{(k)}$	30644 cycles	15007 cycles

Comparaison avec un modèle sans saut

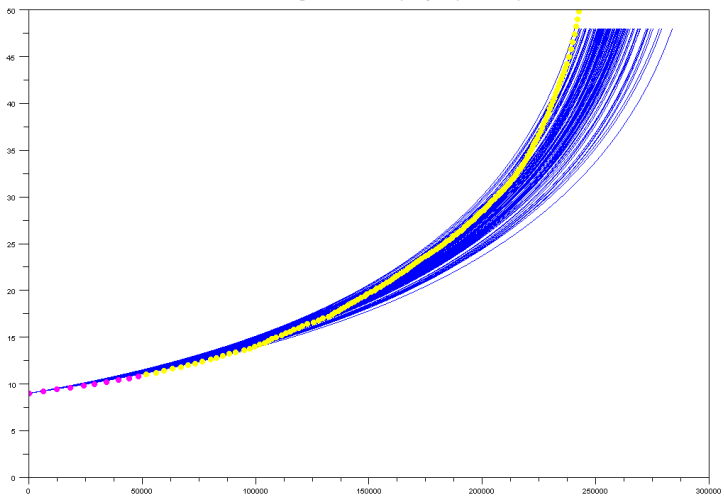
Fissures "standards"

	Modèle PDMP	Modèle sans saut
$\mathcal{D}(\mathcal{F}^{(k)}, \ll \text{fissure } k \gg) = 0$	18/50	1/50
$\mathcal{D}(\mathcal{F}^{(k)}, \ll \text{fissure } k \gg) < 1$	38/50	23/50
$d_Q^{(k)} = 0$	35/50	49/50
dispersion moyenne	7593 cycles	9130 cycles

Forecasting for crack 2 (pdmp model)



Forecasting for crack 2 (no jump model)



Bibliographie

-  J. Chiquet, N. Limnios & M. Eid : **PDMPs applied to fatigue crack growth modelling**, J.S.P.I. 139 (2009) 1657-1667
-  M.H.A. Davis : **Piecewise-deterministic Markov Processes : A General Class of Non-diffusion Stochastic Models**, J.R.Statist. Soc. B. (1984), 46, No.3, pp. 353-388
-  F. Perrin : **Prise en compte des données expérimentales dans les modèles probabilistes pour la prévision de la durée de vie des structures**, thèse de doctorat
-  D.A. Virkler, B.M. Hillberry & P.K. Goel, 1979, **The statistical nature of fatigue crack propagation**, J. Engng Mater Tech , Trans. ASME, 101 : 148-153